

В.О. Зуєв , Л.М. Гориня , Н.Ю. Лавріненко
Вплив поверхні на спектр екситонного відбивання в β -ZnP₂

*Національна академія оборони України,
Повітрянофлотський проспект 28, м. Київ 03049, Україна*

Для кристалів β - ZnP₂ вивчено вплив безекситонного шару та поверхневого згину зон на екситонне відбивання. В області прояву А-екситонів спостерігається (при виснажених зонах) додатковий мінімум. Фізична природа його зумовлена локалізацією екситонів в приповерхневій штарківській ямі.

Ключові слова: екситон, згин зон, поверхня, відбивання.

Стаття поступила до редакції 10.03.2004; прийнята до друку 30.08.2004.

Кристали дифосфіда цинку моноклінної модифікації (β - ZnP₂) привертають велику увагу із-за дуже цікавих фізичних особливостей: велика різниця ефективних мас електронів і дірок, велика інтенсивність анізотропних екситонів, прояв просторової дисперсії, значний вплив стану поверхні на оптичні та фотоелектричні характеристики, тощо. Частина цих особливостей була врахована в [1]. В цій роботі проаналізована форма екситонного відбивання з врахуванням просторової дисперсії, що дозволило визначити параметри екситонних станів А та С – типів (таблиця). В таблиці ω_0 – поперечна частота екситона, М – трансляційна маса, ω_{LT} – поздовжньо-поперечне розщеплення, ϵ_0 – фонові діелектрична проникність, яка обумовлена вкладом всіх механізмів взаємодії, крім осцилятора, що розглядається, Γ – коефіцієнт затухання, f – сила осцилятора. Ці параметри використані нами для проведення розрахунків екситонного відбивання з врахуванням впливу поверхні, яке в [1] не розглядалося.

При 4,2К вивчалися кристали з полірованою, сколотою та анодно-окисленою поверхнями, які характеризувалися різним поверхневим згином зон

u_s .

Для розрахунку коефіцієнта відбивання (R) використовувався метод розбивання області істотної зміни показника заломлення N на вузькі інтервали. Цей метод раніше був використаний для кристалів CdSe [2,3]. Зміна екситонного спектру поблизу поверхні враховувалася через зміни діелектричної проникності ϵ , яка залежить від координати Z :

$$e(\omega, z) = \epsilon_0 \left[1 - \frac{\Gamma}{\omega - \omega_0(z) + i\Gamma(z, \omega)} \right], \quad (1)$$

де ω – частота світла

Розрахунок R був здійснений за допомогою використання відомого [4] методу характеристичних матриць:

$$M = M_{0,1} \cdot M_{1,1} \cdot \dots \cdot M_{\alpha, \alpha+1}. \quad (2)$$

Матриця $M_{j, j+1}$ зв'язує амплітуди падаючої і відбитої хвиль на (j+1)-му шарі з амплітудами падаючої і відбитої хвиль на j-му шарі;

Таблиця

Параметри екситонних станів (n=1) в β - ZnP₂ при 4,2 К

Екситон	$\hbar\omega_{LT}$, MeV	$\hbar\omega_0$, eV	$\hbar\Gamma$, MeV	M	$f \cdot 10^{-3}$	ϵ_0
A	0,97	1,5492	0,1	5	1,2	9,2
C	1,9	1,5591	0,4	5	2,0	7,8

$$M_{j,j+1} = \frac{1}{2N_j} \left\| \begin{pmatrix} (N_j + N_{j+1}) e^{i(N_{j+1}-N_j)\varphi_j} & (N_j - N_{j+1}) e^{-i(N_{j+1}+N_j)\varphi_j} \\ (N_j - N_{j+1}) e^{i(N_{j+1}+N_j)\varphi_j} & (N_j + N_{j+1}) e^{-i(N_{j+1}-N_j)\varphi_j} \end{pmatrix} \right\|, \quad (3)$$

де N – показник заломлення в j - му шарі; φ_j – фаза світла на межі j - го та $(j+1)$ -го шарів.

На рис. 1 представлені спектри відбивання для β - ZnP_2 (область прояву С-екситонів) в припущенні, що змінюється товщина d -безекситонного шару біля поверхні. Видно, що із збільшенням d може мати місце як виникнення додаткового короткохвильового максимуму (крива 3), так і зміщення основного

максимуму в бік більших енергій (пунктирна крива 4). Причиною цього є інтерференційні ефекти.

На рис. 2 при заданому значенні товщини безекситонного шару ($2 \cdot 10^{-8}$ м) вар'юється параметр затухання Γ . Видно, що зміни Γ приводять до зменшення R за абсолютною величиною без істотної зміни спектральних характеристик.

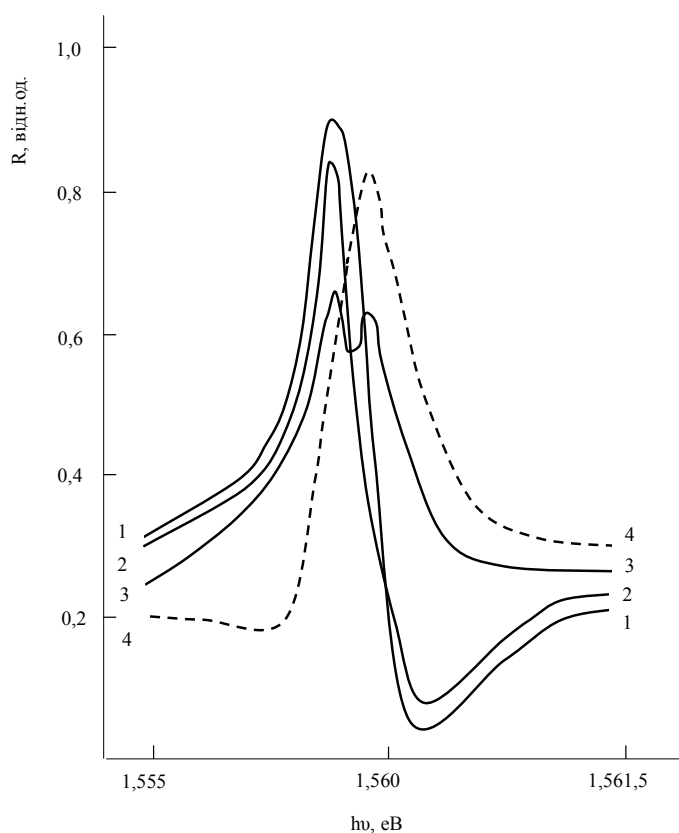


Рис. 1. Спектри відбивання β - ZnP_2 , розраховані з врахуванням товщини безекситонного шару d , м :
1 – 0; 2 – $1 \cdot 10^{-8}$; 3 – $2 \cdot 10^{-8}$; 4 – $3 \cdot 10^{-8}$.

На рис. 3 представлені спектри відбивання для випадку спадаючої залежності $\omega(z)$. Для порівняння приведені звичайний екситонний резонанс (1) і спектр відбивання за наявності “мертвої” зони товщиною $2 \cdot 10^{-8}$ м з різким краєм (криві 1 і 4 відповідно). Залежність $\omega(z)$ приводить до появи добре відомого [2,3] спайку.

Якщо залежність $\omega(z)$ не монотонна, а з мінімумом, який лежить нижче об'ємного значення ω_0 (до цього може привести дія сил зображення при

певній умові на співвідношення діелектричних проникностей середовищ, що межують), то при збільшенні глибини мінімуму відбувається зростання спайка із зменшенням головного максимуму у відбиванні (вже при глибині 3 MeV спайк починає переважати над цим максимумом).

На рис. 4 приведені спектри відбивання, які розраховані для декілької різних значень глибини мінімуму $\Delta\omega_0$. Видно, що збільшення $\Delta\omega_0$, крім зростання спайка, приводить також до зсуву в довгохвильову область основного піку

Вплив поверхні на спектр екситонного відбивання в β -ZnP₂

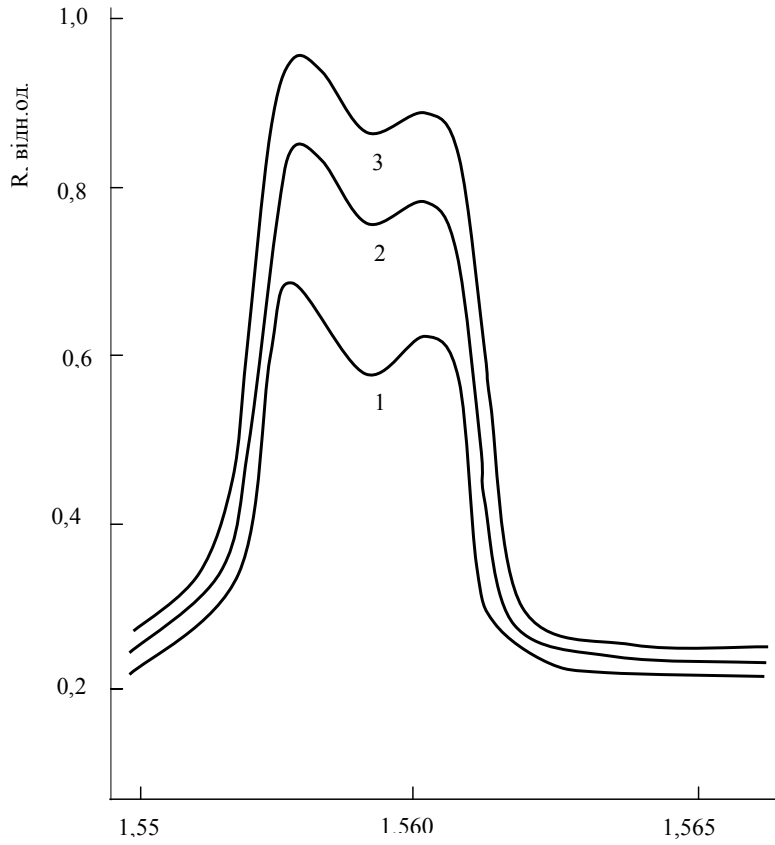


Рис. 2. Теоретично розраховані спектри відбивання β -ZnP₂ при $d = 2 \cdot 10^{-10}$ м і при різних значеннях параметра затухання Γ , МеВ: 1 – 0,1; 2 – 0,05; 3 – 0,02.

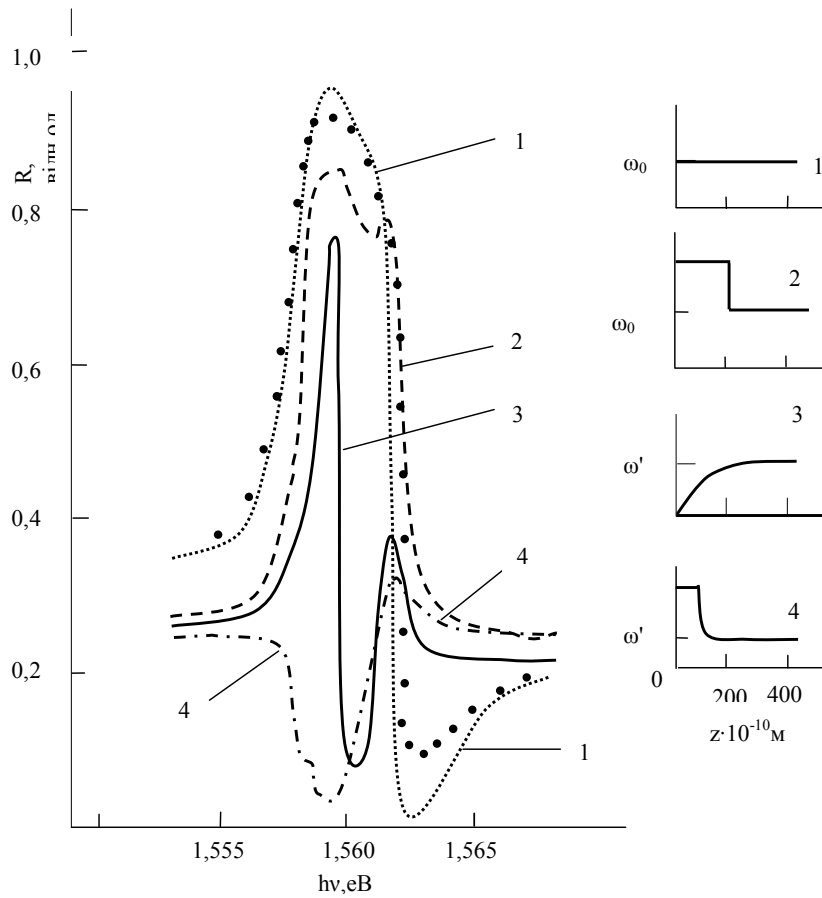


Рис. 3. Спектри відбивання β -ZnP₂, розраховані для випадків: 1 – $\omega(z) = \omega_0$, $d = 0$; 2 – $\omega(z) = \omega_0$, $d = 2 \cdot 10^{-8}$ м; 3 – $\omega(z) = \omega'_0(1 - 0,1e^{-z/100})$; 4 – $\omega(z) = \omega'_0(1 + 0,1e^{-z/50})$; • – експериментальні дані.

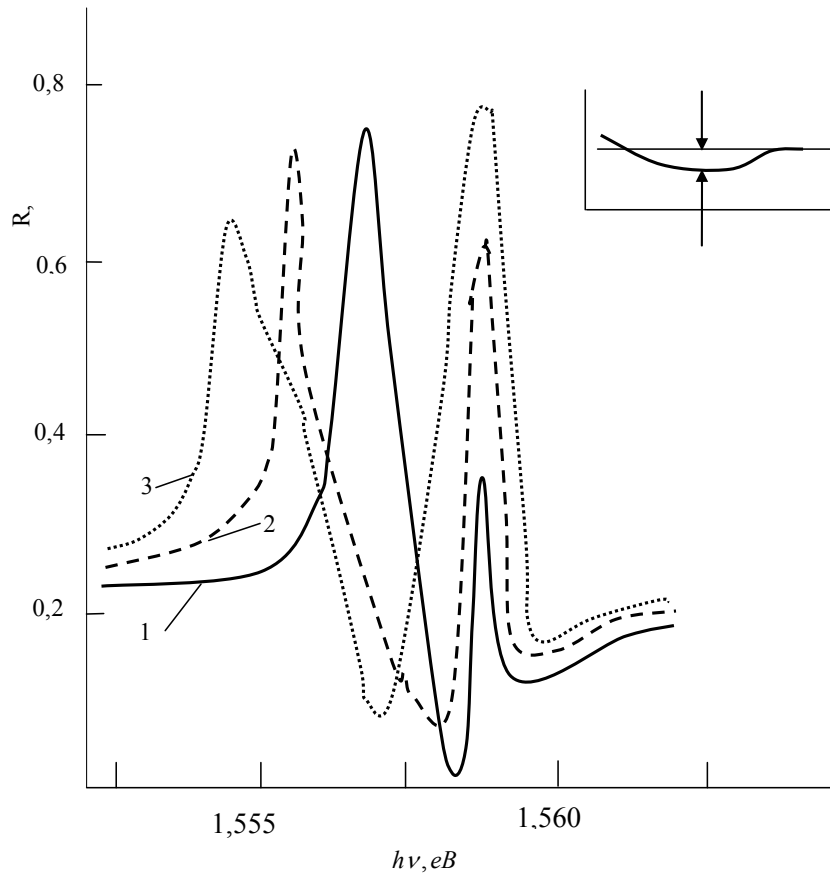


Рис. 4. Спектри відбивання в залежності $\omega(z)$ при наявності мінімуму Δ :
1 – 0,5 MeV; 2 – 2 MeV; 3 – 3 MeV.

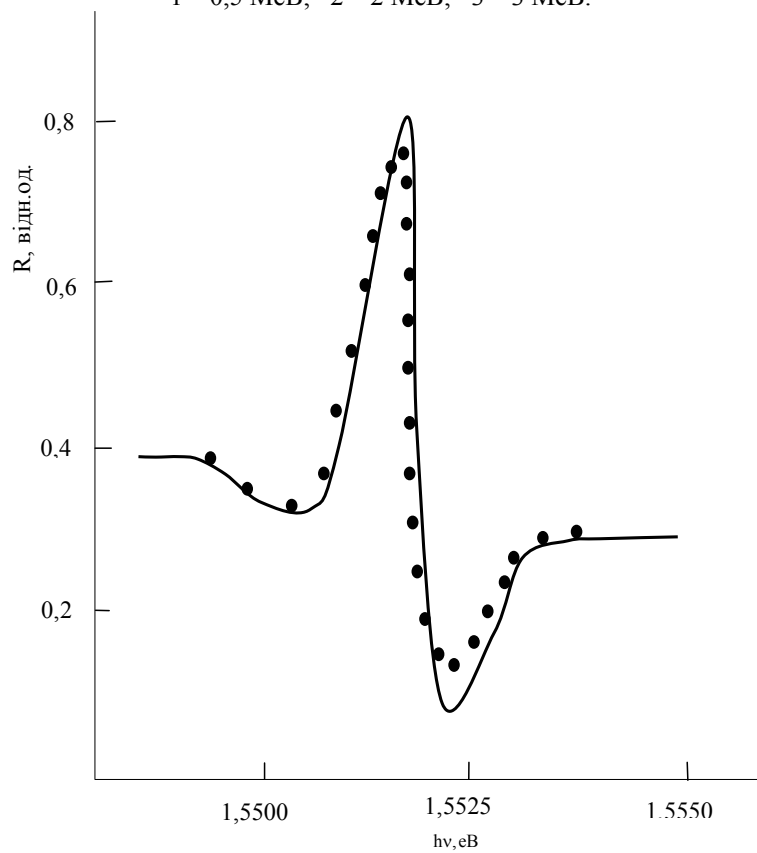


Рис. 5. Спектр відбивання β - ZnP_2 , розрахований при $\omega(z) = \omega_0(1 - 0,1e^{-z/100})$;
• – експериментальні дані.

На рис. 3 зображені наші експериментальні дані. Стан поверхні суттєво не впливає на форму спектру. При порівнянні наших експериментальних даних (в області прояву С-екситонів) з розрахунком видно, що стан поверхні виявляв слабку дію на екситонне відбивання (криві типу 3, рис. 3 не проявлялися). Таким чином, можна зробити висновок, що форма спектру відповідає моделі класичного об'ємного осцилятора з врахуванням просторової дисперсії [1]. Відсутність на експериментальних кривих спайків і зсуву у довгохвилюву область вказує на слабку залежність $\omega_0(z)$.

Аналогічний аналіз був проведений для області А-екситонів. Анодно-окислена і сколота поверхні характеризувалися відносно малим згином зон ($|y_s| < 10$). При цьому, як і у випадку С-екситонів, реалізувалася модель класичного об'ємного осцилятора з врахуванням просторової дисперсії [1].

Полірована поверхня характеризувалася відносно великим згином зон ($|y_s| < 12$). При цьому спостерігався додатковий максимум відбивання, який відповідав розрахунку для випадку, коли ω_0 зростає при збільшенні Z (рис. 5).

З наших даних випливає, що А-екситони чутливіші до впливу поверхні порівняно з С-екситонами. Однією з причин помічених відмінностей А-екситонів є їх від'ємна ефективна маса.

Таким чином, збільшення згину зон приводить до суттєвої зміни частоти екситонів на поверхні. Фізична природа цього ефекту згідно [5,6] може бути зумовлена зв'язаними станами екситонів в штарківських приповерхневих потенціальних ямах.

Висновок

Проведено теоретичне і експериментальне дослідження впливу поверхні на екситонне відбивання кристалів β -ZnP₂. Експериментально суттєвий вплив встановлено в області прояву А-екситонів для полірованої поверхні з великими та збіднюючими згинами зон. Фізична природа цього ефекту зумовлена локалізацією екситонів в штарківських приповерхневих потенціальних ямах.

Зуєв В.О. – доктор фізико-математичних наук, професор;
Гориня Л.М. – кандидат фізико-математичних наук, доцент;
Лаврінченко Н.Ю. – кандидат фізико-математичних наук, доцент.

- [1] Н.Н. Сырбу. Влияние нарушения стехиометрии на экситонные, электронные и колебательные состояния в дифосфидах цинка //ФТП, **26**(6), с.1069-1088 (1992).
- [2] М.С. Бродин, А.В. Крицкий, Э.Н. Мясников и др. Влияние состояния поверхности на спектры отражения и люминесценции кристаллов CdSe //УФЖ, **18**(5), с. 828-833 (1973).
- [3] Н.А. Давыдова, Э.Н. Мясников, М.И. Страшникова. Особенности спектральных свойств монокристаллов CdSe, обусловленных их поверхностью // ФТТ, **16**(4), с.1173-1176 (1974.)
- [4] М. Борн, Э. Вольф. *Основы оптики*. Наука, М. 719 с. (1973).
- [5] В.А. Киселев. Экситонное отражение света при произвольном поверхностном потенциале // ФТТ, **20**(17), сс.2173-2176 (1978).
- [6] В.А. Киселев, Б.В. Новилов, А.Е. Чередниченко. *Экситонная спектроскопия приповерхностной области полупроводника*. Изд. ЛГУ, Л. 160 с. (1987).

V.O. Zuev, L.M Gorynya, N.Y. Lavrinenko

The Influence of the Surface on the Exciton Reflectance of β - ZnP₂ Crystals

*Ukrainian National Defence Academy,
 28 Povyetroflotsky prospect, Kyiv 03049*

Experimental and theoretical investigation of exciton reflectance spectra of β -ZnP₂ crystals has been carried out under different surface conditions. The space dispersion effect was observed for C- excitons. The A- exciton surface localization was observed under large band bending of the polished surface.